

鋼種の異なる腹板を有する箱形断面柱の繰り返しせん断性能に関する実験的研究

福山大学 正会員 上野谷 実 福山大学 正会員 中村 雅樹
錦城護謨(株) 正社員 阿草 英正 (株)アーキ 正会員 ○長川 英哲

1.はじめに

門形鋼製橋脚に地震力が作用する場合、繰り返し作用するせん断力により鋼製橋脚の柱ウェブの数パネルに形成される斜張力場を積極的に利用して、大きな塑性変形性能を発揮できるような構造システムを新たに開発しようとするものである。剛性を上げずに鋼製橋脚の耐震性を向上させる1つの方法として、せん断力が卓越する箇所にせん断リシクデバイス部分を設けることにより、ウェブで地震エネルギー吸収させることが考えられる。ここでは、中間2パネルのウェブ厚がフランジ厚の1/2の場合について、ウェブの鋼種に普通鋼(SM400),低降伏点鋼(LY100)およびステンレス鋼(SUS304)を用いた3種類の補剛箱形断面柱供試体において繰り返しせん断載荷実験を行い、強度、塑性変形性能について考察する。

2.供試体および実験方法

供試体は図-1に示すように、高さ1800mmで4パネルからなる正方形補剛箱形断面柱である。柱の断面形状は450×450mmであり、上下パネル(P1,P4)は普通鋼(SM)を使用し、板厚12mmである。また、中間パネル(P2,P3)のフランジは普通鋼(SM)の板厚7mmを使用し、そのウェブ面は板厚3.5mmで、SM,LYおよびSUSの鋼種を使用する。柱基部から450mm間隔にダイヤフラムを設置し、板幅を等分するように150mm間隔で縦リブを配置した供試体3体を製作した。それぞれ供試体のウェブの鋼種によりSM3.5,LY3.5,SUS3.5と呼ぶ。ただし、SUSは板厚3.5mmの鋼材がなく、市販されている板厚3.0mmの鋼材を使用している。

図-2に載荷装置を示す。実験は一定軸力のもと、両端固定の供試体頂部に繰り返し水平載荷を変位制御で準静的に行った。基本変位は、図-3に示すように正方形のウェブが純せん断を受けて変形するとき、対角線方向変位 δ_1 と δ_2 の和をせん断変位 δ と呼び式(1)で定義する。そしてウェブが純せん断で降伏するときの対角線方向変位を δ_{y1} と δ_{y2} とし、その和を降伏せん断変位 δ_{y0} とし、式(2.3)で定義する。実験で用いた降伏せん断変位 δ_y は、ウェブ1パネルでの降伏せん断変位 δ_{y0} をウェブパネルの枚数倍として、式(4)で定義する。今回は後の実験でSM鋼との比較を行うためにSM鋼の降伏せん断変位を用いて繰り返し載荷を行った。表-1に示すSM3.5のウェブに対する $\delta_y=5.58mm$ を片振り幅とした両振り載荷を±1 δ_y 、±2 δ_y 、±3 δ_y 、…のように行った。

図-4に供試体に用いた鋼材の引張試験による応力-ひずみ曲線を示す。

表-1 材料特性

供試体名	σ_y (MPa)	P_y (KN)	N(KN)	Q_p (KN)	δ_{y0} (mm)	δ_y (mm)	板厚実測値
SM3.5	290	3891	583	514	1.39	5.54	3.5
SUS3.5	298	3708	556	172	1.42	5.69	3.0
LY3.5	117	1560	234	199	0.56	2.24	3.4

$$\delta = \delta_1 + \delta_2 = \sqrt{2}\gamma h \cdots (1) \quad \delta_{y0} = \delta_{y1} + \delta_{y2} = \frac{\sqrt{2}\tau_{yw}h}{G} \cdots (2) \quad \delta_y = 4\delta_{y0} \cdots (3)$$

ここで、 δ_{y0} :1パネルでの降伏せん断変位、 δ_y :実験で用いる降伏せん断変位、 σ_{yw} :ウェブの降伏応力、 τ_{yw} :ウェブのせん断降伏応力、 γ :せん断ひずみ、 G :せん断弾性係数、 h :パネル高さ、 τ_y :せん断応力、 N_y :軸方向降伏荷重、 N :鉛直荷重、 Q_p :塑性せん断力

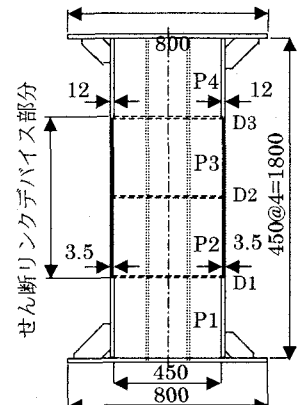


図-1 供試体

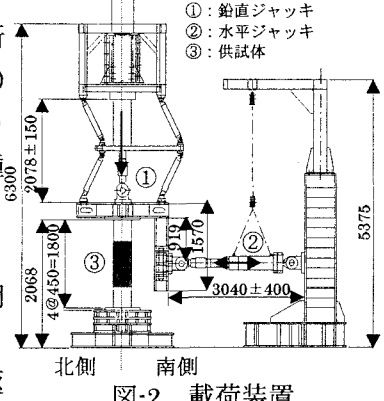


図-2 載荷装置

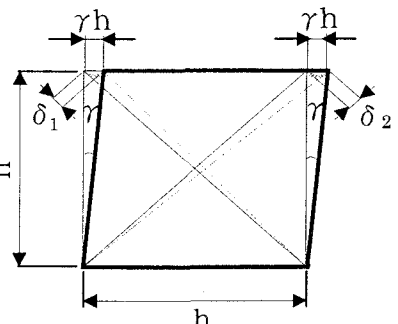


図-3 降伏せん断変位



図-4 応力-ひずみ曲線

3. 実験結果および考察

図-5に供試体SM3.5, LY3.5およびSUS3.5のせん断力-せん断変位履歴曲線を示す。縦軸はせん断力QをSM3.5の降伏せん断力 $Q_{p,SM3.5}$ 、横軸はせん断変位 δ をSM3.5の降伏せん断変位 $\delta_{y,SM3.5}$ で無次元化している。

図-6にせん断力-せん断変位履歴曲線の各サイクルの正と負の最大変位点におけるせん断力の絶対値の平均を結んだ各供試体の包絡線(SM3.5で無次元化)を示す。縦軸はせん断力QをSM3.5の降伏せん断力 $Q_{p,SM3.5}$ で、横軸はせん断変位 δ をSM3.5の降伏せん断変位 $\delta_{y,SM3.5}$ で無次元化している。

最大せん断強度はSM3.5がSUS3.5およびLY3.5よりもそれぞれ1.1倍および1.5倍大きくなっている。材料の引張試験ではSUS鋼はSM鋼よりも強度が大きいにもかかわらずSUS3.5の強度がSM3.5よりも小さくなっている。これはSUS3.5の実測ウェブ板厚がSM3.5の板厚より17%小さいことによる。そこで同じ板厚に対する強度の比較をするためにSUS3.5の強度を板厚の比に応じて換算すると、最大せん断強度はSUS3.5がSM3.5およびLY3.5よりもそれぞれ1.1倍および1.6倍大きくなる。

最大せん断強度時の塑性変形性能はSUS3.5がSM3.5およびLY3.5よりもそれぞれ1.3倍および1.1倍大きい。すべての供試体において、ウェブのせん断座屈が始まても強度は上昇するが、SM3.5およびLY3.5はフランジの塑性変形が始まる $12\sim13\delta_y$ の前後に最大せん断強度に達し、その後は低下する。SM3.5はLY3.5およびSUS3.5に比べ延性が劣るために大きなクラックが生じやすく、その後の強度低下が著しい。これに比べて、SUS3.5はウェブのせん断座屈やフランジの塑性変形クラックが生じても耐荷力はほぼ横ばいの傾向を示している。これはSUS3.5のひずみ硬化が他の鋼種よりも大きいことが原因と考えられる。最大せん断強度の95%耐力へ低下したときの変形性能でもSUS3.5がSM3.5およびLY3.5よりもそれぞれ1.3倍および1.2倍となり、SUS3.5が最も優れている。

表-2に示すように、座屈による最大面外たわみはSM3.5, LY3.5およびSUS3.5とも東西ウェブパネルP2, P3のリブ間で生じた。また、フランジはウェブの座屈に巻き込まれるようにウェブ側に塑性変形を生じた。

図-7に各供試体の累積エネルギー吸収量をSM3.5の弾性限エネルギー吸収量 $\Delta E_{SM3.5}$ で無次元化して示す。縦軸は累積エネルギー吸収量 $\Delta/\Delta E_{SM3.5}$ 、横軸はせん断変位 $\delta/\delta_{y,SM3.5}$ である。最大せん断強度時の累積エネルギー吸収量で比較すると、SUS3.5がSM3.5およびLY3.5よりもそれぞれ1.4倍および1.2倍となり、SUS3.5が最も大きい。

4.まとめ

供試体SM3.5, LY3.5およびSUS3.5とともにウェブのせん断座屈が先行するが、フランジの塑性変形が始まる。 $12\sim13\delta_y$ の前後で最大せん断強度に達し、その後強度は低下する。SM3.5はLY3.5およびSUS3.5に比べ延性が劣るために大きなクラックが生じやすく、その後強度低下が著しい。最大せん断強度の95%耐力へ低下したときの変形性能は、SUS3.5が最も優れている。

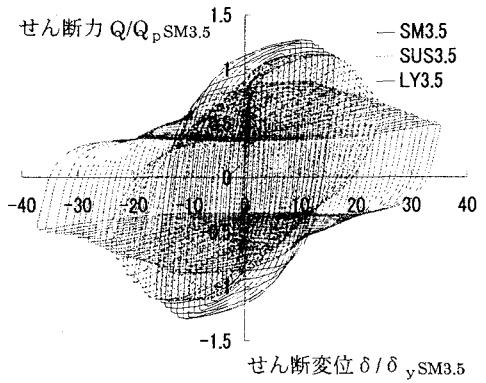


図-5 せん断力-せん断変位履歴曲線

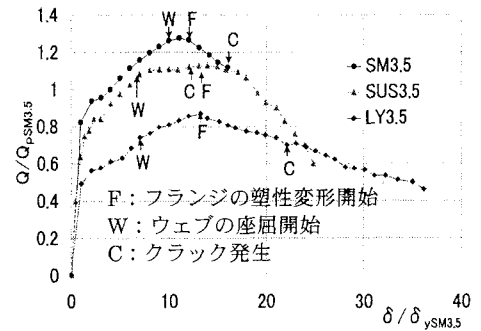


図-6 包絡線

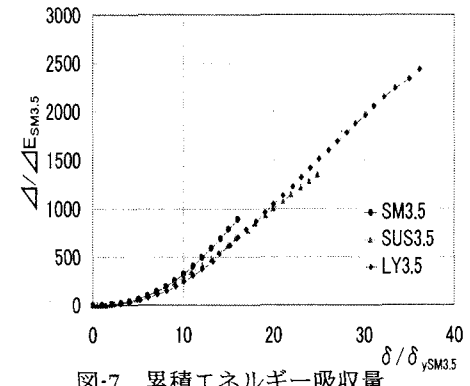


図-7 累積エネルギー吸収量

表-2 各供試体の座屈挙動

供試体名	パネル	座屈開始せん断力(kN)	座屈開始変位	クラック発生変位	最大面外たわみ(mm)	最終せん断変位
SM3.5	フランジ	P3 -656	-12δy	—	12.9	16δy
		P2 646	12δy	—	21.5	
	ウェブ	P3 563	10δy	—	22.6	
		P2 563	10δy	-16δy	23.5	
SUS3.5	フランジ	P3 463	13δy	—	18.9	28δy
		P2 463	13δy	—	14.1	
	ウェブ	P3 410	7δy	15δy	32.2	
		P2 -436	7δy	-15δy	-15.9	
LY3.5	フランジ	P3 -448	-13δy	—	28.4	35δy
		P2 447	13δy	-22δy	20.7	
	ウェブ	P3 412	-7δy	22δy	-19.9	
		P2 412	8δy	—	-20.5	